

4097/2-75

ОБЪЕДИНЕННЫЙ  
ИНСТИТУТ  
ЯДЕРНЫХ  
ИССЛЕДОВАНИЙ  
ДУБНА



Г-443

22/4-25

P11 - 9113

Б.С.Гетманов, В.Г.Маханьков

МАТЕМАТИЧЕСКОЕ МОДЕЛИРОВАНИЕ  
ДИНАМИЧЕСКИХ ТРЕХМЕРНЫХ НЕЛИНЕЙНЫХ ЗАДАЧ  
ФИЗИКИ СЛАБОТУРБУЛЕНТНОЙ ПЛАЗМЫ.

II. Турбулентный нагрев плазмы  
электромагнитным (лазерным) излучением  
и аномальное рассеяние излучения

1975

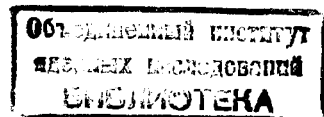
P11 - 9113

Б.С.Гетманов, В.Г.Маханьков

МАТЕМАТИЧЕСКОЕ МОДЕЛИРОВАНИЕ  
ДИНАМИЧЕСКИХ ТРЕХМЕРНЫХ НЕЛИНЕЙНЫХ ЗАДАЧ  
ФИЗИКИ СЛАБОТУРБУЛЕНТНОЙ ПЛАЗМЫ.

II. Турбулентный нагрев плазмы  
электромагнитным (лазерным) излучением  
и аномальное рассеяние излучения

Направлено в журнал "Физика плазмы"



В первой части настоящей работы /1/ были изложены общие соображения о важности рассмотрения анизотропных спектров и изучалась динамика слабой ленгмюровской турбулентности, возбуждаемой релятивистским электронным пучком. Здесь будет рассмотрена динамика ионно-звуковой турбулентности, возбуждаемой в плазме лазерным пучком применительно к проблеме нагрева плазмы до термоядерных температур.

### § I. Предварительные соображения

При рассмотрении проблемы нагрева плазмы с помощью лазерного излучения следует иметь в виду, что речь может идти только о так называемом турбулентном нагреве, ибо, как показано в /2,3/, нагрев за счет коллективных процессов может быть значительно более эффективным, чем обычный джоулев нагрев. Одной из множества интересных проблем, возникающих здесь, является изучение весьма важного процесса, сопутствующего нагреву плазмы, — процесса турбулентного рассеяния сколлинированного лазерного излучения. Турбулентный нагрев плазмы с помощью электромагнитного излучения связан с возбуждением и поглощением плазменных колебаний. Возбуждение колебаний происходит в результате распадных (параметрических) неустойчивостей.

Возможны следующие каналы распада: 1)  $t \rightarrow t' + s$  ;  
2)  $t \rightarrow e + s$  ; 3)  $t \rightarrow t' + e \rightarrow t' + e' + s$  ; 4)  $t \rightarrow 2e$  . Здесь  
 $t$  — поперечный (электромагнитный) плазмон;  $e$ ,  $s$  — соответственно ленгмюровский и ионно-звуковой плазмоны. Второй и четвертый

процессы приводят только к поглощению энергии и носят ярко выраженный резонансный характер. Первый и третий, весьма сходные между собой процессы, будучи нерезонансными, могут, кроме нагрева плазмы, приводить к аномальному рассеянию лазерного излучения.

В работе /2/ было показано, что скорость нагрева плазмы, так же как и инкремент распадной неустойчивости  $t \rightarrow t' + S$ , существенно зависит от углового раствора  $\Delta\theta_0$  лазерного пучка, и тем больше, чем меньше  $\Delta\theta_0$ . С другой стороны, в процессе неустойчивости происходит рассеяние электромагнитного излучения, которое, вообще говоря, увеличивает  $\Delta\theta_0$ . Более того, такое рассеяние может привести к выходу излучения из плазмы, значительно снижая эффективность нагрева /4/.

Если предположить, что возбуждаемые ионно-звуковые колебания быстро становятся изотропными, то время рассеяния на них  $t$ -волн (когда  $\Delta\theta_0$  становится порядка единицы) для однородной плазмы можно оценить по формуле /5/

$$\frac{1}{t_{sc}} = \gamma_{sc} \approx \gamma_{eff} \cdot \frac{c}{v_s}, \quad (2.1)$$

где

$$\gamma_{eff} = \gamma_K (K_0) \cdot \left( \frac{\omega_{pe}}{\omega_0} \right)^4 (\Delta\theta_0)^{-2}; \quad (2.2)$$

$$\gamma_K \approx \sqrt{\frac{m_e}{m_i}} K_0 v_s \left\{ \left[ \frac{K}{K_0} h(K_0 - K) + h(K - K_0) \right] \frac{U_0}{U_{t2}} - \frac{K}{K_0} \right\};$$

$K_0 = 2K$ ,  $\Delta\theta_0$ ,  $\omega_{pe}^2 = \frac{4\pi n e^2}{m_e}$ ,  $\omega_0 = K c$  – частота  $t$ -волн,  $K$  и  $v_s$  суть волновое число и фазовая скорость  $S$ -волн,  $\gamma_{eff}$  – эффективная скорость нагрева плазмы в результате процесса  $t \rightarrow t' + S$ ,  $h(\lambda)$  – ступенчатая функция,  $U_{t2} = \left( \frac{m_i}{m_e} \right)^{\frac{1}{2}} \left( \frac{\omega_0}{\omega_{pe}} \right)^4 (\Delta\theta_0)^2$  – пороговая энергия,  $U_0 = W_0 / n T_e$  – безразмерная плотность энергии  $t$ -волн.

Из (2.1) следует, что в случае изотропных  $S$ -колебаний плазма находится фактически в поле рассеянного излучения  $\Delta\theta_0 \approx 1$ . Поэтому весьма существенным становится вопрос: являются ли  $S$ -колебания изотропными?

Таким образом, возникает задача, в которой детальный анализ углового распределения возбуждаемой ионно-звуковой турбулентности является принципиально важным как для понимания физики процесса, так и для утилитарных приложений.

## § 2. Качественные оценки

Пусть на плазму падает монохроматический сколлинированный пучок электромагнитных волн ( $t$  – волны), возбуждая при этом ионно-звуковую турбулентность посредством процесса  $t \rightarrow t' + S$ . Как уже отмечалось, принципиально важным является вопрос об угловом распределении возбуждаемой турбулентности. Прежде чем заняться численным моделированием, приведем сначала качественные соображения, говорящие о том, что а) возбуждаются неизотропные  $S$ -колебания, и б) дальнейшее развитие неустойчивости может не приводить к их быстрой изотропизации.

Рассмотрим сначала идеализированный случай полноты сколлинированного пучка  $t$ -волн,  $\Delta\theta_0 = 0$ . Тогда из законов сохранения при распаде  $\omega_0^t = \omega_1^t + \omega^S$  и  $\vec{K}_1^t = \vec{K}_2^t + \vec{K}^S$  следует, что при возбуждении  $S$ -колебаний каждому  $|\vec{K}^S|$  соответствует свой угол  $\Theta_S$  между  $\vec{K}^S$  и  $\vec{K}_1^t$ :

$$\Theta_S(k^S) = \arccos \left( \frac{v_s}{c} + \frac{k^S}{2K} \right). \quad (2.3)$$

Это уравнение дает в сферических координатах поверхность вращения, близкую (с точностью до  $v_s/c \ll 1$ ) к сфере в силу  $v_s/c \ll 1$ .

По мере накопления колебаний на поверхности (2.3) вступают в игру процессы индуцированного рассеяния  $S$ -волн на ионах плазмы, которые могут привести к уходу  $S$ -колебаний с поверхности (2.3), т.е. к их изотропизации.

В силу индуцированности процесса рассеяния колебание, ушедшее с поверхности (2.3), с наибольшей вероятностью будет возвращаться обратно на эту поверхность, ибо уровень турбулентности на ней в результате развития неустойчивости на линейной стадии на много порядков превышает уровень вне ее. Вследствие этого в процессе перекачки из-за рассеяния на ионах волновые вектора  $S$ -колебаний  $\vec{K}^s$ , для которых разрешены переходы только в близкие значения  $|\vec{K}^{s'}$  при любых, однако, углах между  $\vec{K}^s$  и  $\vec{K}^{s'}$ , будут "бегать" по поверхности (2.3), постепенно уменьшаясь по модулю. Это приведет к концентрации  $S$ -колебаний на поверхности (2.3) в области малых  $K$  при угле, близком к  $\pi/2$ .

В реальном случае, когда  $\Delta\theta_0 \neq 0$ , хотя и мало, поверхность (2.3) превращается в слой той же формы с толщиной порядка  $\Delta\theta_0$ . Легко видеть, что приведенные выше рассуждения о взаимодействии

$S$ -волн остаются в силе, только теперь  $\vec{K}^s$  "бегает" внутри слоя, а колебания скапливаются в сечении этого слоя вблизи  $K^s = K_0$  и  $\Theta_s = \pi/2$ , если  $\Delta\theta_0 \ll 1$ . Кроме того, при  $\Delta\theta_0 \neq 1$  колебания возбуждаются только в области волновых чисел  $K_s$ , ограниченной сверху величиной  $K_{\max} = 2k_0 \Delta\theta_0 u_0 / u_{t_0}$ , что следует из (2.2) и  $\gamma_K > 0$  (см. ниже). Поэтому при  $u_0 \geq u_{t_0}$  "слой генерации" оказывается обрезанным со стороны больших  $K^s$ .

В результате концентрации  $S$ -колебаний в области  $K^s \approx K_0$  и  $\Theta_s \approx \pi/2$  их распределение является резко анизотропным и рассеяние  $t$ -волн на ионно-звуковых будет незначительным.

Кроме рассмотренного выше рассеяния  $t$ -волн, сам процесс распада  $t \rightarrow t' + s$  приводит к изменению величины и направления волнового вектора  $t$ -волн, что наиболее отчетливо проявляется на начальной стадии развития неустойчивости  $1/4$ . В силу вида дисперсии

$\omega^t = k^t \cdot c$ ,  $\omega^s = k^s v_s$  малому изменению энергии  $t$ -волны может соответствовать большое изменение импульса. Тем не менее индукционный характер такого взаимодействия, описываемого интегральным уравнением  $\frac{\partial N_{\vec{K}_0}^t}{\partial t} = N_{\vec{K}_0}^t \int \Theta(\vec{k}_0, \vec{k}_1) N_{\vec{k}_1}^s d\vec{k}_1$ , может препятствовать уширению начального углового разброса излучения, если ширина его спектра  $\Delta K_0/k_0 > v_s/c$  (отклонившийся в результате первого распада волновой вектор  $t$ -волн будет с наибольшей вероятностью возвращаться назад при следующем распаде).

Вышеизложенное позволяет сделать заключение, что в принципе могут существовать условия, при которых аномальное рассеяние  $t$ -волн невелико.

### § 3. Постановка задачи численного моделирования

Возникновение и развитие ионно-звуковой турбулентности, возбуждаемой пучком электромагнитного излучения, описывается трехмерным нелинейным интегро-дифференциальным уравнением:

$$\frac{\partial W_{\vec{K}}^s}{\partial t} = (\gamma_K + \gamma_{nle}) W_{\vec{K}}^s \quad (2.4)$$

Здесь  $W_{\vec{K}}^s$  — плотность энергии  $S$ -волн,  $\gamma_K$  и  $\gamma_{nle}$  — соответственно инкремент возбуждения ионного звука и нелинейный инкремент перекачки колебаний за счет индуцированного рассеяния на ионах плазмы. Результаты работы  $1/2$  позволяют легко получить инкремент неустойчивости:

$$\gamma_K = \sqrt{\mu} K_0 V_s \left\{ f(\theta) \left[ \frac{K}{K_0} h(K_0 - K) + h(K - K_0) \right] \frac{U_{t2}}{U_{t1}} - \frac{K}{K_0} \right\}. \quad (2.5)$$

Здесь  $\mu = m_e/m_i$ ;  $K_0 = 2k_0 \Delta \theta_0$ ;  $V_s = \sqrt{\frac{T_e}{m_i}} = \sqrt{\mu} V_e$  — скорость звука;  $K_0$  и  $\omega_0$  — соответственно волновое число и частота падающего излучения ( $K_0 c = \omega_0$ );  $\Delta \theta_0$  — угловой полуразброс пучка;  $h(x)$  — ступенчатая функция;  $U_0 = \omega_0^4 / n T_c \sim 1$  — безразмерная плотность энергии лазерного излучения;  $U_{t2} = \sqrt{\mu} (\frac{\omega_0}{\omega_p})^4 \Delta \theta_0^2$  — безразмерная пороговая энергия. Из (2.4) легко видеть, что при  $U_0 < U_{t2}$  для любого  $K$  инкремент становится отрицательным, т.е. неустойчивости нет. Подчеркнем следующую из вышеприведенных формул существенность рассмотрения конечного, хотя и малого, углового разброса  $\Delta \theta_0$  падающего излучения. Работа [6], на результатах которой основана часть излагаемых здесь исследований, была, вероятно, первой, в которой учтен конечный угловой разброс. Наконец,  $f(\theta)$  характеризует угловое распределение падающего излучения. Мы выберем ее в виде

$$f(\theta) = \frac{1}{12\pi} \frac{1}{\Delta \theta_0} \exp \left[ -(\theta - \Theta(K))^2 / 2 \Delta \theta_0^2 \right]. \quad (2.6)$$

Здесь  $\Theta(K)$  дается (2.3). Из (2.5) видно, что область генерации колебаний на плоскости  $(K, \theta)$  представляет собой полосу малой ширины (при достаточно малых  $\Delta \theta_0$ ).

Нелинейный инкремент перекачки дается формулой [7]

$$\gamma_{\text{нел.}}^s = \frac{\sqrt{2\pi} T_e}{V_i^3 m_i n} \int d\vec{K}_1 W_{\vec{K}_1} \left( \frac{\vec{K} \cdot \vec{K}_1}{K K_1} \right)^2 \frac{\omega_-^s}{\omega_{\vec{K}}^s \omega_{\vec{K}_1}^s} \exp \left[ -\frac{\omega_-^s}{2 V_i^2 |K - K_1|^2} \right]. \quad (2.7)$$

Здесь  $V_i$  — тепловая скорость ионов;  $\omega_-^s = \omega_{\vec{K}}^s - \omega_{\vec{K}_1}^s$ ;  $\vec{K} = \vec{R} - \vec{R}_1$ ;  $\omega_{\vec{K}}^s = K V_s$ ;  $d\vec{K} = K^2 dK \sin \theta d\theta d\phi$ .

После ряда преобразований выражение (2.7) приобретает вид

$$\begin{aligned} \gamma_{\text{нел.}}^s = & \frac{\sqrt{2\pi} T_e}{V_i^3 m_i n} \int d\vec{K}_1 W_{\vec{K}_1} \frac{(K_1 - K) K^2 K_1}{|K - K_1|^3} \sin^2(\vec{K} \cdot \vec{K}_1) \cos^2(\vec{K} \cdot \vec{K}_1) \cdot \\ & \cdot \exp \left[ -\frac{1}{2} \left( \frac{V_i}{V_e} \right)^2 \mu^{-\frac{1}{2}} \frac{(K - K_1)^2}{|K - K_1|^2} \right]. \end{aligned} \quad (2.8)$$

Здесь мы ввели электронную и ионную столкновительные частоты затухания  $V_e$  и  $V_i$ , ибо именно они в дальнейшем будут фигурировать в качестве параметров задачи. Спектральная плотность энергии ионно-звуковых колебаний здесь определена посредством равенства

$$W_K^s = \frac{\omega_K^s N_K^s}{(2\pi)^3}; \quad \int W_K^s d\vec{K} = W_0.$$

Введем безразмерные переменные

$$x = \frac{K}{K_0}; \quad W_{x0} = \frac{2\pi K^2 K_0 \sin \theta}{n T_e} W_K^s; \quad \tilde{t} = \gamma t \quad (\gamma = \gamma_{K_{\max}} \approx \sqrt{\frac{2\pi}{\mu}} K_0 V_s \frac{U_{t2}}{U_{t1}}).$$

Тогда получаем окончательный вид уравнения (2.4), пригодный для численного моделирования:

$$\partial_{\tilde{t}} W_{x0} = \Delta \theta_0 W_{x0} \left[ \gamma_{x0} + \int dx_1 d\theta_1 dy_1 Q(\vec{x}, \vec{x}_1) W_{x10} \right]. \quad (2.9)$$

Здесь

$$\gamma_{x0} = \sqrt{2\pi} \left\{ f(\theta) [x h(1-x) + h(x-1)] - \frac{U_{t2}}{U_0} x \right\}; \quad (2.10)$$

$$Q = A \cos^2(\vec{x} \cdot \vec{x}_1) 3 \sin^2(\vec{x} \cdot \vec{x}_1) \frac{x^2 x_1 (x - x_1)}{|x - x_1|^3} e^{-\frac{1}{2} \left( \frac{V_i}{V_e} \right)^2 \mu^{-\frac{1}{2}} \frac{(x - x_1)^2}{|x - x_1|^2}}; \quad (2.11)$$

$$A = \left( \frac{V_i}{V_e} \right)^{\frac{1}{2}} \mu^{-\frac{1}{2}} \frac{U_{t2}}{U_0}; \quad |x - x_1| = \sqrt{x^2 + x_1^2 - 2xx_1 \cos(\vec{x} \cdot \vec{x}_1)}. \quad (2.12)$$

Для счета были выбраны следующие параметры:

$V_e = 10^{12}$ ;  $V_i = 3 \cdot 10^{10}$ ;  $\Delta \theta_0 = 10^{-2}$ . Превышение над порогом было взято значительным:  $U_0 = \frac{U_{t2}}{U_{t1}} = 8$ ; при этом колебания возбуждаются в области  $0 < K < 8 K_0 = 1,6 K_0$ .

Методика численного эксперимента, контроль точности счета аналогичны описанным в I части работы.

#### § 4. Обсуждение результатов

На рис. I-3 представлены результаты численного эксперимента – графики функций  $\mathcal{E}_n (W_{x\theta}/W_t)$  в моменты времени  $T = II, I4, I6$ . (Здесь  $W_t(x, \theta) = 10^{-4}$  – энергия теплового шума).

Рис. I иллюстрирует начальную стадию развития неустойчивости – возникновение и рост числа ионно-звуковых колебаний в области, дающейся соотношением (2.II), с максимумом при  $X=1$ . "Провалы" на линии, вдоль которой распределена спектральная плотность энергии, связаны с малым числом точек, в которых считается  $W_{x\theta}$  по переменной  $\theta$ : брать большее число точек не позволяет возможности даже мощной ЭВМ. Отметим, что это явление не возникало в предыдущих задачах ввиду более простой, чем (2.II), связи между  $x$  и  $\theta$ .

Рис. 2 демонстрирует картину развитой ионно-звуковой неустойчивости. Распределение в целом имеет довольно сложный характер. Индуцированное рассеяние на ионах приводит к росту колебаний в различных областях плоскости  $(\theta, k)$ , в частности, при углах, больших  $\pi/2$ . Отметим аналогию с задачей ч. I настоящей работы: с одной стороны, происходит относительная изотропизация за счет появления колебаний при  $\theta > \pi/2$ , с другой стороны – колебания преимущественно концентрируются в области  $\theta \approx \pi/2; 0 < x < 1 (0 < k < k_d)$ .

Рис. 3 дает последнюю стадию развития неустойчивости. Колебания распределены сложным образом практически по всей области  $(k, \theta)$ , но их уровень в области  $k \sim 0, \theta \sim \pi/2$  превышает на несколько порядков средний уровень в остальной части области. Тем самым подтверждается качественный вывод проведенного выше рассмотрения о резкой

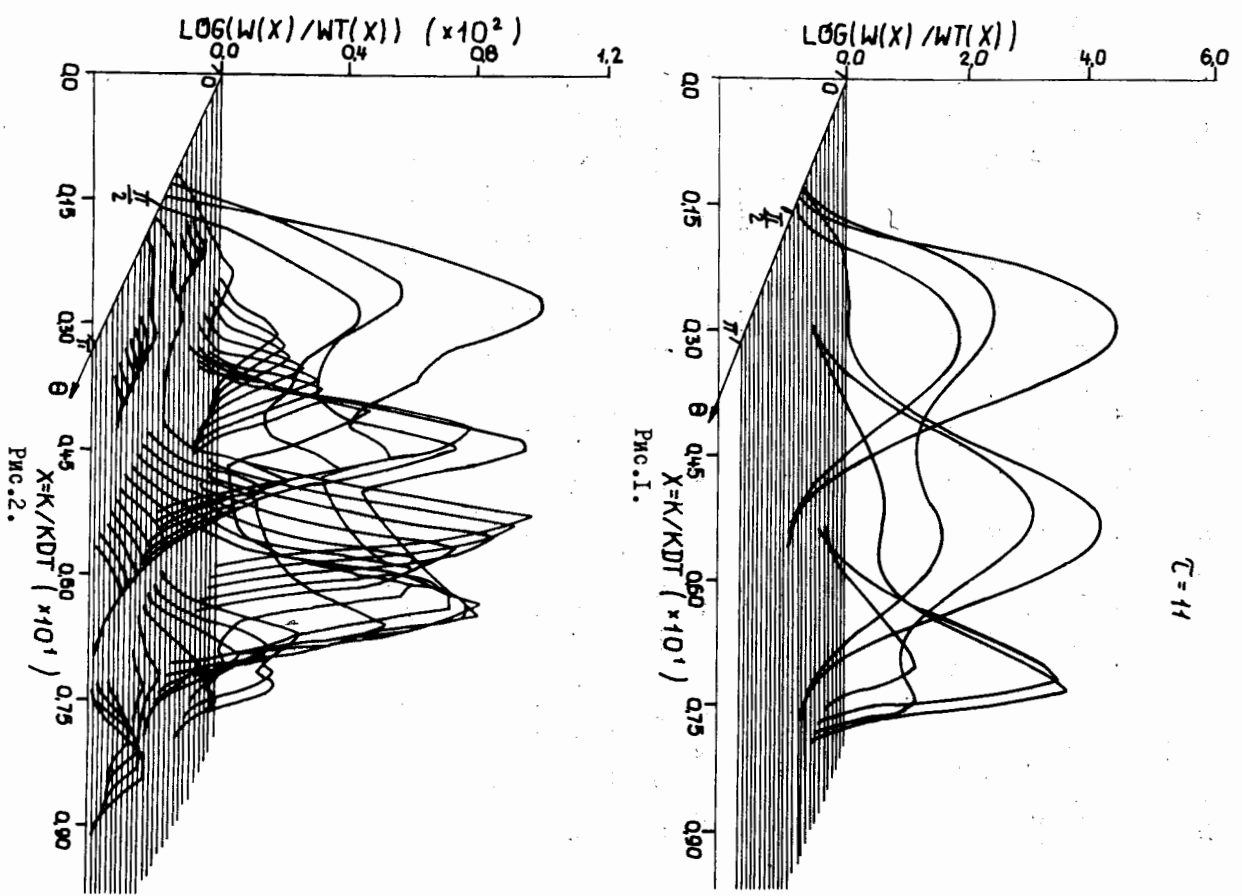
анизотропии ионно-звуковых колебаний, возбуждаемых лазерным пучком с малым разбросом.

На рис. 4 представлен график анизотропии  $\mu(t)$ , введенной в ч. I, формула (I.7). Поведение этой функции аналогично поведению анизотропии ленгмировских колебаний, возбуждаемых релятивистским электронным пучком: резкий рост в начале развития неустойчивости и высокий уровень в течение всего процесса с тенденцией к дальнейшему росту.

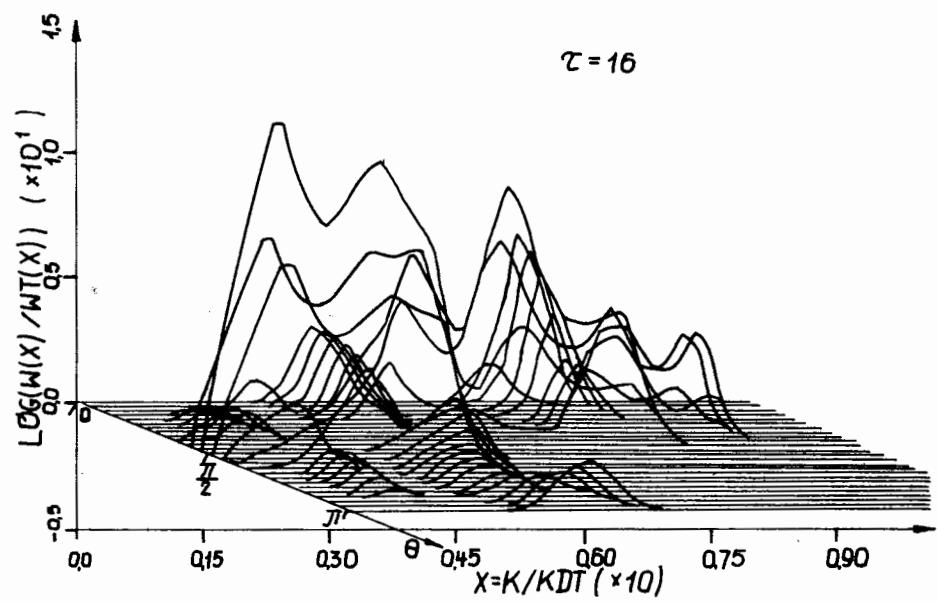
#### ЗАКЛЮЧЕНИЕ

Исследование различных моделей, проведенное в настоящей работе, а также в [8], позволяет сделать принципиальный вывод: резко анизотропные распределения турбулентных волн являются скорее правилом, чем исключением, при рассмотрении не слишком длительных процессов, когда колебания еще не сконденсированы в области  $k \sim 0$ . В этом смысле во многих задачах может оказаться более разумным приближение  $W(\theta) \sim \delta(\theta - \theta(k))$ , чем традиционное  $\partial W / \partial \theta = \delta(k)$ . Проблема поведения сконденсированных спектров требует дальнейших исследований.

Авторы благодарны Е.П. Жидкову и М.Г. Мещерякову за поддержку.



12



13

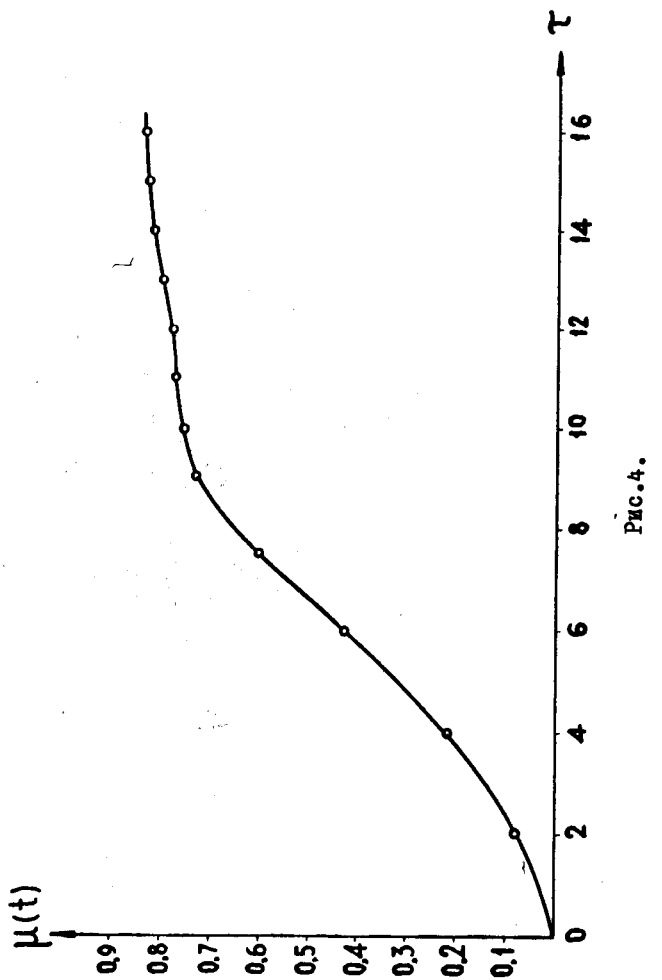


Рис.4.

14

ЛИТЕРАТУРА

1. Б.С.Гетманов, В.Г.Маханьков. ОИЯИ, РII-9II2, Дубна, 1975.
2. V.G.Makhankov, V.N.Tsytovich. JINR, E4-6716, Dubna, 1972; *Physica Scripta*, 1, 234, 1973.
3. Boris et al. Phys. Rev. Let., 25, 706, 1970.
4. А.А.Галеев и др. Письма в ЖЭТФ, 17, 48, 1973.
5. С.А.Каплан, В.Н.Цытович. Плазменная астрофизика, Наука, М., 1972.
6. Б.С.Гетманов, В.Г.Маханьков.ОИЯИ, Р4-6952, Дубна, 1973.
7. В.Н.Цытович. Теория турбулентной плазмы, Атомиздат, 1971.
8. Л.В.Бобылева, Б.С.Гетманов, Е.П.Жидков, В.Г.Маханьков. ОИЯИ, РII-826I, Дубна, 1974; "Plasma Physica" (в печати).
9. В.Е.Захаров, С.Н.Мушер, А.М.Рубенчик. Письма в ЖЭТФ, 19, 249, 1974.

Рукопись поступила в издательский отдел  
5 августа 1975 года.

15